

はマイティ150(濃度40%)を使用した。主材と反応材の混合方法は、短時間攪拌のケースでは粉体同時攪拌としたが、長時間攪拌のケースではそれぞれのスラリーを攪拌し、そのあと混合攪拌した(スラリーの攪拌時間が異なる場合は短い方の時間を解析ではカウントした)。水比は主材と反応材に対し4倍と3倍のケースを選んだ。図-2は使用注入材料と模型砂地盤の粒度分布を示す。

3. 試験結果 注入試験結果のうち主要なケースを表-1に示す。これによると、グラウトの浸透性にはグラウト材の物性や仕様のうちスラリーの粒度(粉体の一次粒子の粒度ではない)が最も重要なファクターであり、細かいほど浸透性が良いことが示される。また、スラリーの粒度は特に粉碎攪拌のエネルギーに依存することが分かる。浸透性は同表中のシリカライム(1)(ミルの仕様:900rpm, 4.5h)と超微粒子セメントがともに良く、シリカライム(2)はミルの攪拌時間が短かすぎたことが言える。また、超微粒子セメントの注入では時間経過とともにある程度の流量を維持するには若干の昇圧が必要であったことから、これよりもシリカライム(1)の方がやや浸透性が優れている言うこともできる。図-3はミルの回転数・回転時間とシリカライムの平均粒径の関係を示したものである。

図-4はミルによる攪拌での時間経過の分散化の過程を粒度分布からみたものである。頻度の山が1つになり平均粒径が小さくなることが読み取れる。図-5は水およびグラウトの注入試験における注入圧力と流量の関係を示す。グラウトビリティ比と浸透実績とを対比すると、一般に言われている浸透条件 $D_{15}/G_{85} \geq 15D_{10}/G_{95} \geq 8$ と概ね整合する(付表省略)。

4. まとめ 筆者らが開発してきた新材料の室内拡大注入試験によって次のような結果が得られた。(1) 浸透性はグラウト材の混合スラリーの実際の粒度分布に依存し、主に平均粒径が小さいほど浸透性が良い。(2) 混合スラリーの実際の粒度分布と平均粒径はスラリーの分散化に依存し、これには粉碎攪拌機(ミル)が有効であり、分散性は超微粒の材料では回転数と攪拌時間に依る。

5. あとがき 今後はミルの仕様を詰め、分散剤との併用方法についての研究を進め、また現場試験を通じて実用化に当たっての着目点を洗い出すことを考えている。

表-1 注入試験結果総括表

注入材料	模型地盤の性状			攪拌混合条件		スラリーの出来上り物性				注入結果		
	間隙率 n	相対密度 Dr	透水係数 k cm/s	水比	分次ミルの回転数 時間	密度 g/cm ³	77% 結晶性 cp	粘度 D ₁₀ μm	到達距離 l cm	使用時間 t h	平均浸透係数 k ₀ cm/s	k ₀ × 10 ⁻¹
シリカライム(1)	0.44	0.73	3.57 × 10 ⁻³	4	900rpm 4.5h	1.14	20.5	10	0.52	30.0cm 21.8h	11.1	2.3 × 10 ⁻¹
シリカライム(2)	0.45	0.67	2.01 × 10 ⁻³	3	900rpm 1.5h	1.15	20.4	6.5	3.5	13.3cm 30分	—	—
超微粒子セメント	0.43	0.81	1.86 × 10 ⁻³	4	7x 500rpm 30分	1.16	19.9	—	—	38.3cm 22.5分	12.9	1.4 × 10 ⁻¹

注-1) 模型地盤: 堆砂7号。注-2) 平均浸透係数はグラウトを水と同じように考えたときの透水係数

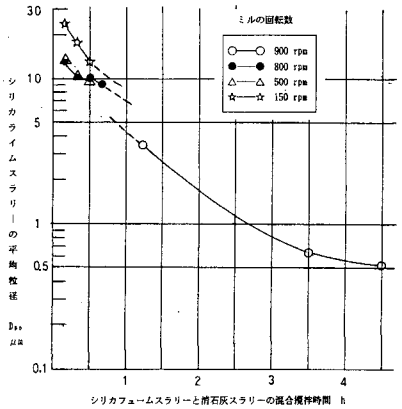


図-3 ミルの回転数・攪拌時間とシリカライムスラリーの平均粒径の関係(ミルによるシリカライムスラリーの分散効果)

粒度分析装置: HORIBA製LA-910レーザ回折/散乱式粒度分析測定装置
粉碎攪拌機(ミル): 三井鉱山製DM-5(回転数 900rpm)

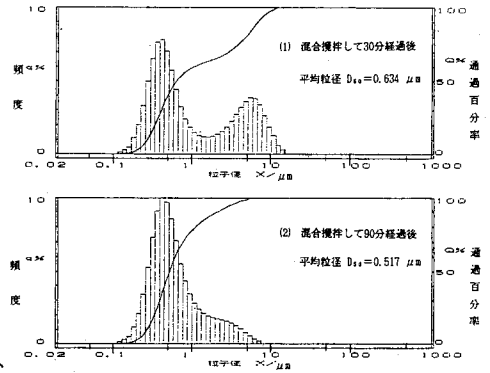


図-4 ミルの攪拌時間経過に伴うシリカライムスラリーの分散化・粒度分布の変化

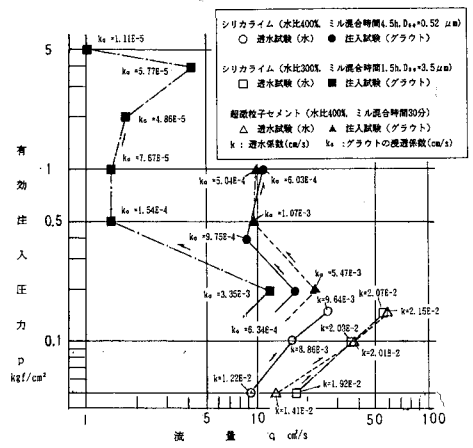


図-5 注入試験の有効注入圧力-流量曲線

[参考文献] 1) 原田, 寺本, 寺戸: 新しいグラウト材の研究開発(その1), 土木学会第47回年次学術講演会, 1992. 9. 2) 寺戸, 寺本, 玉井, 柏: 新しいグラウト材の研究開発(その2), 土木学会年次学術講演会, 1993. 9.